

МАТЕМАТИЧЕСКАЯ МОДЕЛЬ ПРОЦЕССА ОБЕЗЖИРИВАНИЯ Д 38  
КОСТИ В ЦЕНТРИФУГЕ

Н.Н.Мизерецкий , С.Г.Либерман , М.Л.Файвишевский

Во ВНИИМПе разработана технология комплексной переработки кости, предусматривающая двухстадийное последовательное обезжиривание тепловым способом /1/.

Первая стадия по этой технологии осуществляется сухим способом непрерывным методом в шнековом аппарате в течение 12 мин., при температуре 80-85°C. Извлеченный жир непрерывно выводится из шнекового аппарата и направляется на сепарирование, а кость повторно измельчается на дробилке.

Вторая стадия обезжиривания повторно измельченной кости проводится в центрифуге фильтрующего типа в течение 4 мин. при температуре 70-75°C /2, 3/.

Создание математической модели процесса обезжиривания кости в центрифуге дает возможность расчетным путем определить наиболее экономичный режим работы и оптимальный выход жира.

До настоящего времени в литературе не были освещены вопросы влияния различных технологических факторов на степень извлечения жира при центрифугировании кости /2/.

Нами установлено, что изменение содержания жира в кости ( $dG$ ) в процессе центрифугирования прямо пропорционально содержанию жира в ней ( $G$ ); квадрату угловой скорости вращения ротора центрифуги ( $\omega^2$ ), радиусу его ( $R$ ), температуре костного сырья ( $t$ ), продолжительности центрифугирования ( $d\tau$ ) и обратно пропорционально среднему размеру частиц кости ( $\delta$ ) и степени уплотнения ее при центрифугировании ( $\beta$ ), иными словами:

$$dG = -K_1 \frac{G \omega^2 R t d\tau}{\delta (1 + K_2 \tau)^2} \quad (1)$$

где  $K_1$  и  $K_2$  - коэффициенты пропорциональности, учитывающие физико-химические свойства сырья;

$$\beta = (1 + K_2 \tau)^2$$

Решая уравнение /1/, получим

$$\ln \left( \frac{G_1}{G_2} \right) = \frac{K_1 \omega^2 R t \tau}{\delta (1 + K_2 \tau)} \quad (2)$$

или

$$\eta = 1 - e^{-y} \quad (3)$$

где  $G_1$  и  $G_2$  - начальное и конечное содержание жира в кости соответственно  $K_1 = K_2$ ;  $y$  - степень извлечения жира по отношению к его начальному содержанию в кости, в долях единицы,  $\eta = (G_1 - G_2) : G_1$

- $e$  - основание натуральных логарифмов;
- $\gamma$  - безразмерный показатель степени, зависящий от режима и длительности центрифугирования,  $\gamma = K_1 \omega^2 R t : (1 + K_2 t)$

Для подтверждения достоверности полученных уравнений (2) и (3) нами были поставлены специальные опыты по центрифугированию кости в различных режимах (табл. I). Средний размер частиц кости определяли по суммарным кривым, представленным на рис. I, где кривая 1 характеризует дисперсный состав при измельчении кости на силовом измельчителе, кривая 2 - на дробилке через решетку с отверстиями диаметром 35 мм, а кривая 3 - с отверстиями 25 мм.

Таблица I

| Показатели                          | Единица измерения | Позвонки           |                   | Эпифизы            |                   |
|-------------------------------------|-------------------|--------------------|-------------------|--------------------|-------------------|
| Содержание жира                     | %                 | 17                 | + 20              | 23                 | + 27              |
| Режим центрифугирования             | I                 | I                  | II                | III                | IV                |
| Скорость вращения ротора            | сек.              | 131                | 210               | 210                | 210               |
| Радиус ротора                       | м                 | 0,4                | 0,225             | 0,225              | 0,225             |
| Температура                         | °C                | 50+60              | 80+90             | 80+90              | 80+90             |
| Средний размер частиц <sup>x)</sup> | м                 | $12 \cdot 10^{-3}$ | $7 \cdot 10^{-3}$ | $14 \cdot 10^{-3}$ | $7 \cdot 10^{-3}$ |

<sup>x)</sup> Средний размер частиц определяли по суммарным кривым дисперсности измельченной кости, фракционный состав которой определяли ситовым анализом.

Опыты проводили на центрифугах типа ТВ-450 и ТН-800 в интервале температур  $45^{\circ} \leq t \leq 100^{\circ}\text{C}$ . Замеры делали через каждые 30 сек. Результаты экспериментов (корреляционный график) представлены на рис. 2. Значение показателя  $\ln \frac{G_1}{G_2}$  определяли (с точностью до 0,01) по табл. 2. Так, например, если

$G_1 : G_2 = 1,53$ , то  $\ln(1,53) = 0,43$ . Как видно из рис. 2, экспериментальные точки достаточно близко примыкают к расчетной прямой I. Численные значения коэффициентов  $K$ ,  $K_1$  и  $K_2$ , вычисленные с учетом данных табл. I, 2 и рис. I, приведены в табл. 3.

Наглядное представление о динамике процесса обезжиривания в центрифуге дает график  $\eta = f(\tau)$  (см. формулу 3).

Подробный график, построенный для режима II (см.табл. I) изображен на рис. 3, где сплошной линией показаны расчетные, а точками - экспериментальные значения показателя  $\eta$  (аналогичное построение может быть произведено и для режимов I, III, IV).

Как видно из графика (см. рис. 3) основная масса жира (до 40-50% от его общего содержания в кости) извлекается из сырья в первые 1-2 мин. процесса центрифugирования. По мере уплотнения массы сырья в роторе центрифуги (что в формуле 3 учитывается показателем  $\alpha = 1+K_2\tau$ ) извлечение жира все более и более затрудняется. Полученные нами экспериментальные данные дают основание считать, что при центрифугировании кости предельные значения показателя практически лежат в интервале  $0,6 < \eta < 0,7$ .

Разработанная нами методика позволяет расчетным путем определить выход жира при обезжиривании кости в центрифуге.

Таблица 2

| $G_1 : G_2$ | 0    | I    | 2    | 3    | 4    | 5    | 6    | 7    | 8    | 9    |
|-------------|------|------|------|------|------|------|------|------|------|------|
| I,0         | 0,00 | 0,01 | 0,02 | 0,03 | 0,04 | 0,05 | 0,06 | 0,07 | 0,08 | 0,09 |
| I,1         | 0,10 | 0,11 | 0,11 | 0,12 | 0,13 | 0,14 | 0,15 | 0,16 | 0,17 | 0,17 |
| I,2         | 0,18 | 0,19 | 0,20 | 0,21 | 0,22 | 0,22 | 0,23 | 0,24 | 0,25 | 0,26 |
| I,3         | 0,26 | 0,27 | 0,28 | 0,29 | 0,29 | 0,30 | 0,31 | 0,32 | 0,32 | 0,33 |
| I,4         | 0,34 | 0,34 | 0,35 | 0,36 | 0,37 | 0,37 | 0,38 | 0,39 | 0,39 | 0,40 |
| I,5         | 0,41 | 0,41 | 0,42 | 0,43 | 0,43 | 0,44 | 0,45 | 0,45 | 0,46 | 0,46 |
| I,6         | 0,47 | 0,48 | 0,48 | 0,49 | 0,50 | 0,50 | 0,51 | 0,51 | 0,52 | 0,53 |
| I,7         | 0,53 | 0,54 | 0,54 | 0,55 | 0,55 | 0,56 | 0,57 | 0,57 | 0,58 | 0,58 |
| I,8         | 0,59 | 0,59 | 0,60 | 0,60 | 0,61 | 0,62 | 0,62 | 0,63 | 0,63 | 0,64 |
| I,9         | 0,64 | 0,65 | 0,65 | 0,66 | 0,66 | 0,67 | 0,67 | 0,68 | 0,68 | 0,69 |
| 2,0         | 0,69 | 0,70 | 0,70 | 0,71 | 0,71 | 0,72 | 0,72 | 0,73 | 0,73 | 0,74 |

1221

Таблица 3

|          | $K_1$ сек.<br>град.    | $K_2$ $\frac{I}{\text{сек.}}$ |
|----------|------------------------|-------------------------------|
| Сырье    |                        |                               |
| Позвонки | $0,0675 \cdot 10^{-9}$ | 0,0027                        |
| Эпифизы  | $0,135 \cdot 10^{-9}$  | 0,0027                        |

Допустим, необходимо определить выход жира (в кг) после центрифугирования измельченных позвонков в течение  $T = 30$  сек. ( $\delta = 0,012$  м) в количестве 50 кг, с содержанием жира 18% при  $\omega = 314$  (I/сек.),  $R = 0,5$  м,  $t = 80^\circ\text{C}$ . Расчет ведем по формуле 2 с учетом данных табл. 3.

$$\ln\left(\frac{G_1}{G_2}\right) = \frac{0,0675 \times 10^{-9} \times 314^2 \times 0,5 \times 80 \times 30}{0,012 (I + 0,0027 \times 30)} = 0,62$$

Далее по табл. 2 находим  $0,62 = \ln (I,85)$ ,  
 $G_1 = 50 \times 0,18 = 9$  кг, что дает:

$$G_2 = 9 : 1,85 = 4,86 \text{ кг}$$

$$G_1 - G_2 = 9 - 4,86 = 4,14 \text{ кг}$$

$$\eta = 4,14 : 9 = 0,46$$

Таким образом, выход жира составляет 4,14 кг или 46% от его содержания в кости, взятой на центрифугирование.

В результате проведенных исследований установлена математическая зависимость выхода жира от условий центрифугирования кости и предложено дифференциальное уравнение процесса обезжиривания ее в фильтрующих центрифугах.

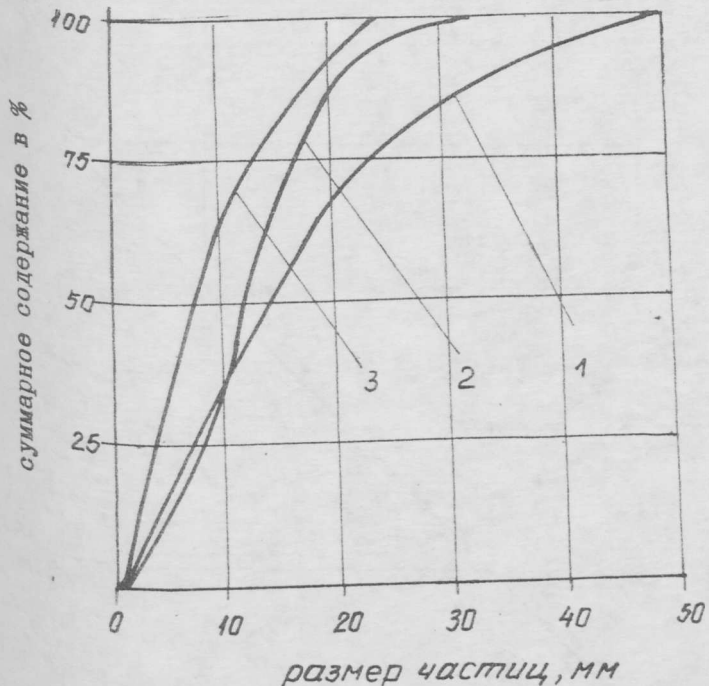


Рис. 1 - Суммарные кривые фракционного состава измельченной кости

- 1 - кость измельчена на силовом измельчителе
- 2 - кость измельчена на дробилке с решеткой диаметром 35мм
- 3 - кость измельчена на дробилке с решеткой 25 мм

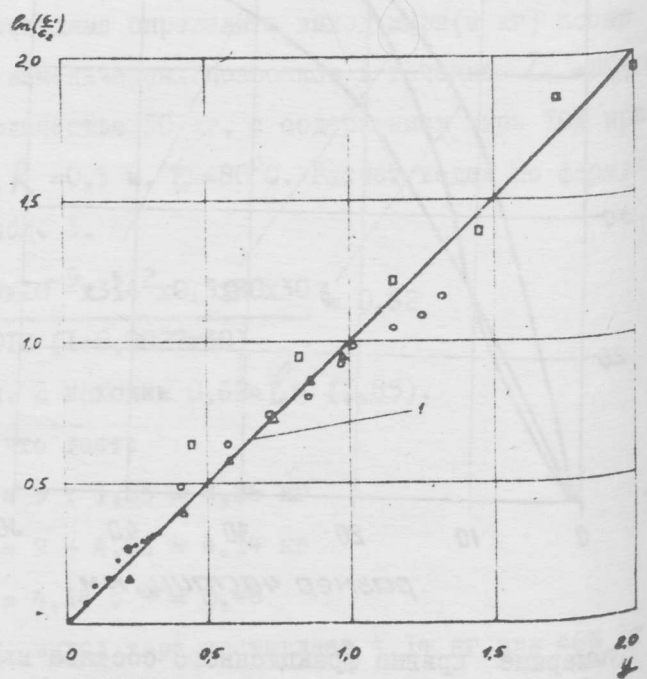


Рис. 2 - Корреляционный график

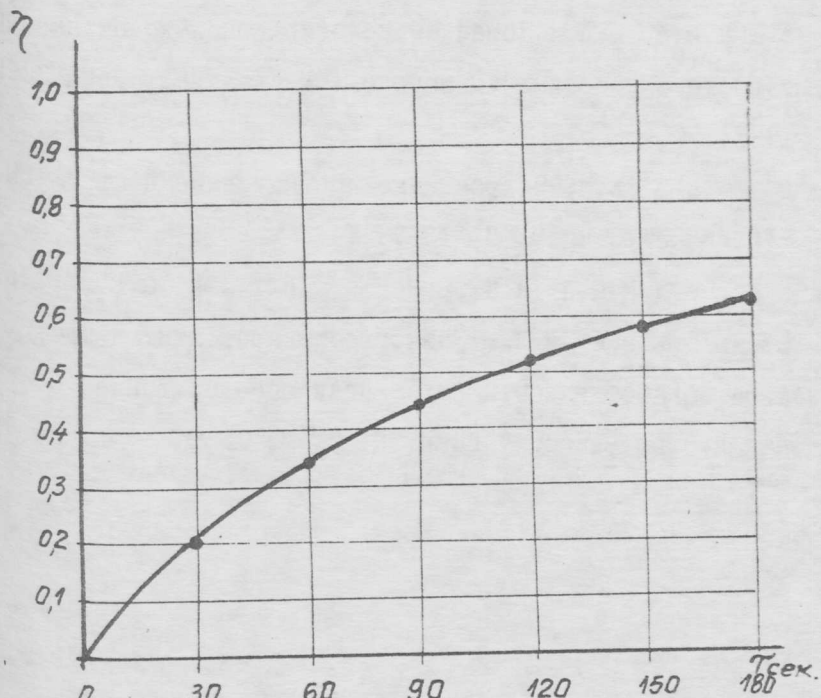


Рис. 3 - Изменение степени извлечения жира из кости в зависимости от продолжительности центрифугирования

## ЛИТЕРАТУРА

1. Синицын К.Д., Либерман С.Г., Файвишевский М.Л. Новая технология комплексной переработки кости в непрерывном потоке. "Мясная индустрия ССР", 12, 1968.
2. Соколов В.И. Современные промышленные центрифуги. Изд. "Машиностроение", М, 1967.
3. Мизерецкий Н.Н., Либерман С.Г., Файвишевский М.Л. Зависимость продолжительности термической обработки кости от степени обезжиривания. Сборник "Мясная промышленность", ЦНИИТЭИ, 2, М, 1969.